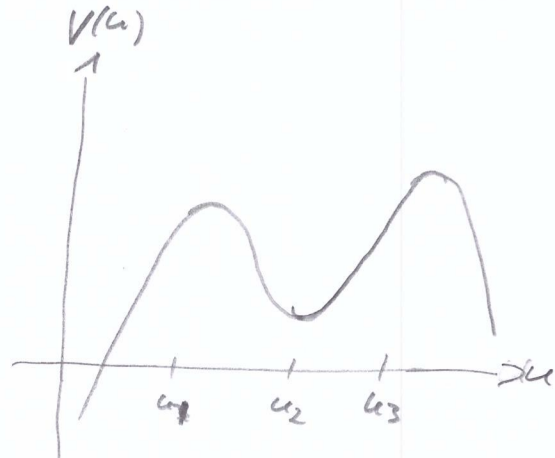
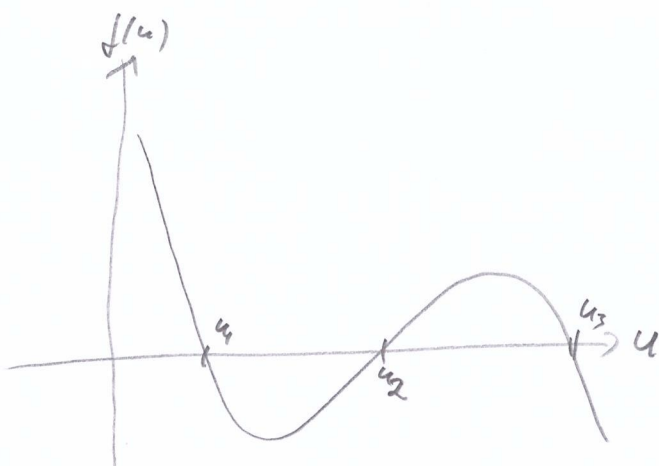


9.3 Reaktion-Diffusionsysteme

51

Wiederholung: Schlögl-Modell (s. Übung 5)

$$\frac{\partial}{\partial t} u(x,t) = f(u) + D \frac{\partial^2}{\partial x^2} u(x,t) \text{ mit } f(u) = -k(u-u_1)(u-u_2)(u-u_3)$$



mit bewegter Koordinate: $\xi = x - ct$: $u(x,t) = u(x-ct\xi) = u(\xi)$

$$\xi - c u'(\xi) = f(u) + D u''(\xi)$$

$$\text{Definieren } V(u) = \int_0^u f(\tilde{u}) d\tilde{u} \Rightarrow \frac{\partial V}{\partial u} = f(u) \quad (\text{Potential } V)$$

$$\text{Somit } D u'' = - \frac{\partial V}{\partial u} - c u'$$

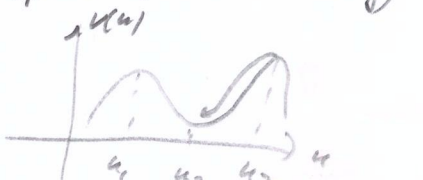
Bewegung im Potential $V \Rightarrow C \stackrel{!}{=} \text{Reibungs Koeffizient!}$

$$1. \text{ Fall } C=0 \text{ (reibungsfrei)}: \text{Energieerhaltung: } E = V(u) + \frac{1}{2} D \left(\frac{du}{d\xi} \right)^2$$

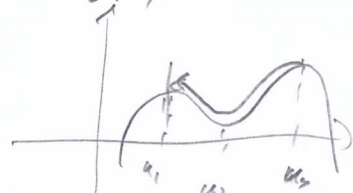
$$\text{Betrachte } V(u_3) > V(u_1) \Rightarrow A := \int_{u_1}^{u_3} f(u) du > 0 \quad u(u)$$

\Rightarrow Teilchen (bei u_3 gestoppt) schließt über u_1 hinaus
(es bleibt bei u_1 und hält weiter die Energie über.)

2. Fall $C \neq 0$: Teilchen verliert Energie (Dissipation durch Reibung)
und kommt bei u_2 zur Ruhe



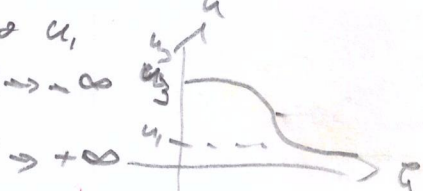
3. Fall: C balanciert Potential auf $\Delta E = V(u_3) - V(u_1) \Rightarrow C = C_0$



\Rightarrow Teilchen erreicht gerade so u_1

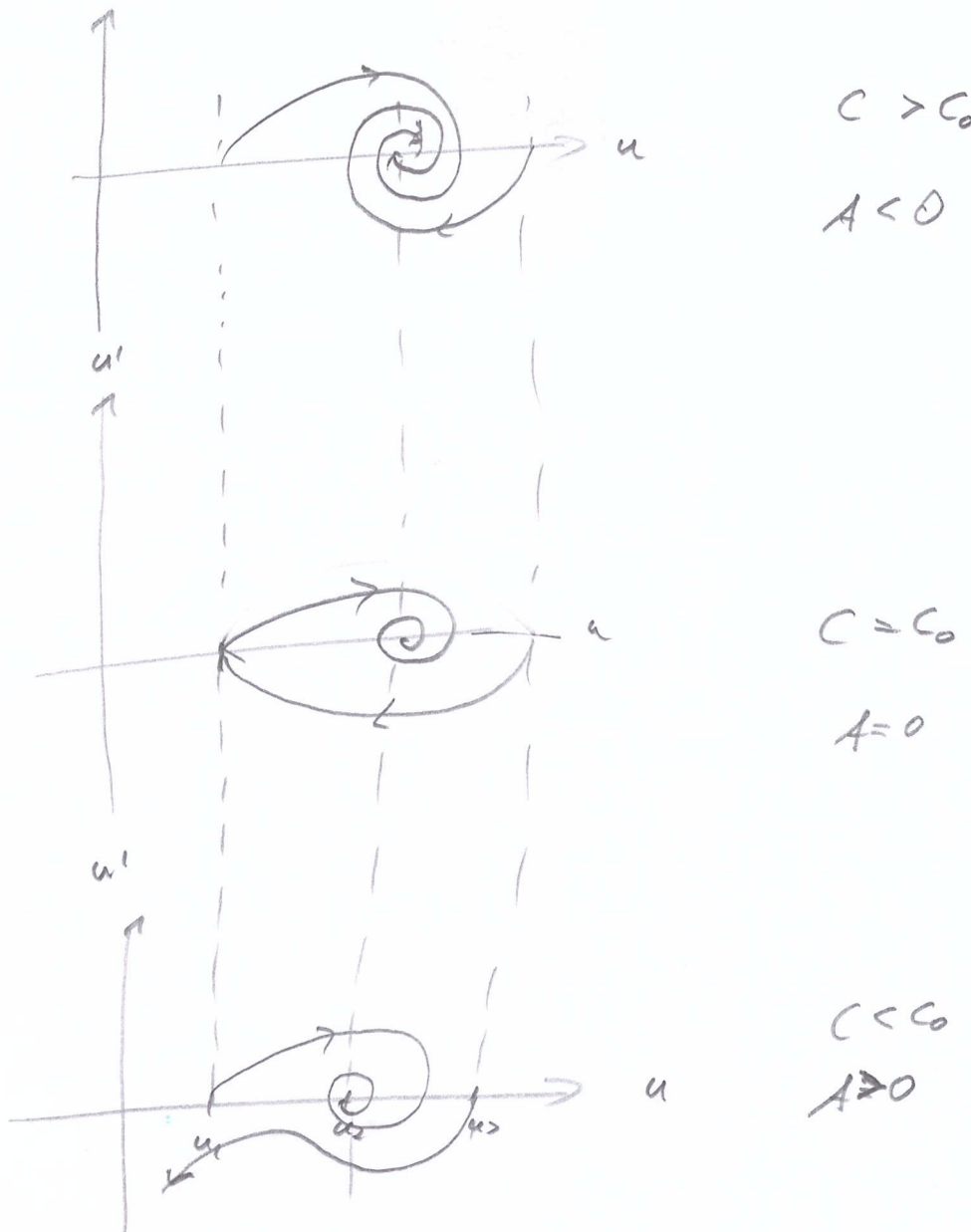
\Rightarrow Lossg: $u \rightarrow u_1$ für $\xi \rightarrow -\infty$

(Resonanzwellen) bauen (\dots)



Zusammen gefaßt:

52



$$A = \int_{u_1}^{u_3} -k(u-u_1)(u-u_2)(u-u_3) du = 0$$



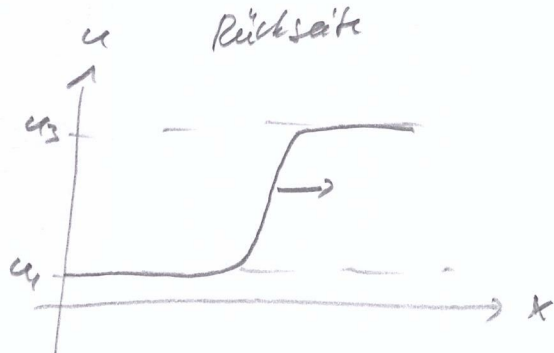
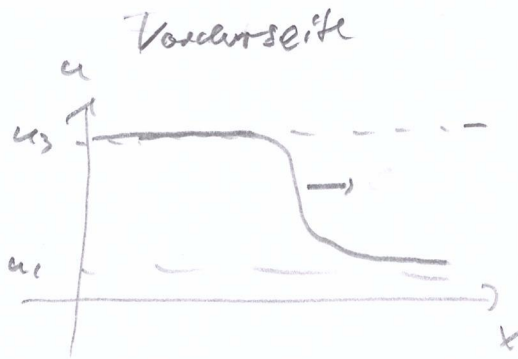
Ursprung: auto-katastatische Reaktionen:

$$M + 2X \xrightleftharpoons{k_2} 3X, \quad X \xrightleftharpoons{k_4} N$$

Reaktionskinetik: $\dot{x} = k_1 M x^2 - k_2 x^3 - k_3 x + k_4 N$

mit M und N konstant, so liefert das Schlögl-Modell

wandlende Pulse (travelling pulses)



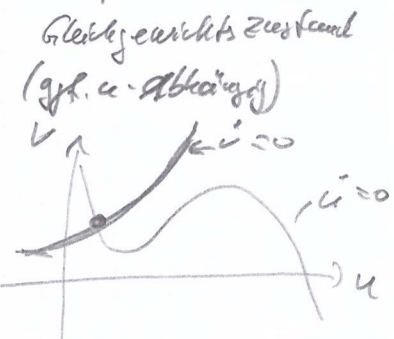
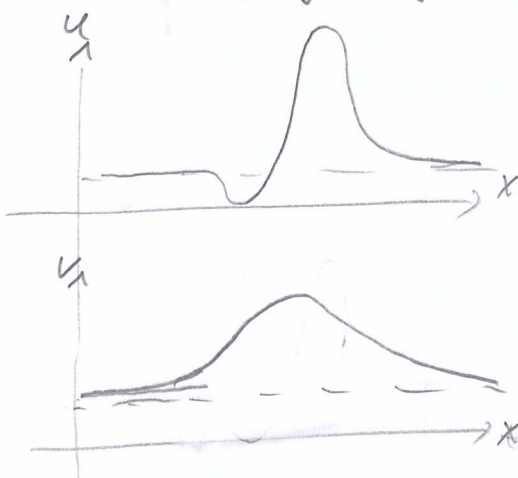
$$\frac{\partial u}{\partial t} = f(u, v) + D \frac{\partial^2 u}{\partial x^2} \Rightarrow A(v) = \int_{u_1}^{u_3} f(u, v) du$$

$A > 0$: Anregung
(Ignition)

$A < 0$: Auslösbar
(Excitability)

u : Aktivierung , v : Inhibition

$$\Rightarrow 2. \text{ Variable } V \text{ folgt Dynamik etc: } \frac{\partial V}{\partial t} = -\frac{1}{r} (V - \bar{V}(u))$$

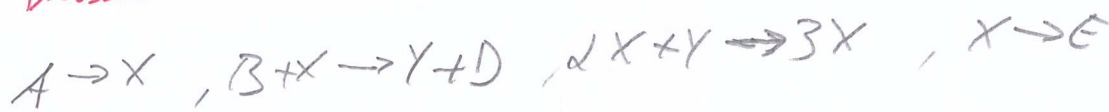


Bsp: FitzHugh-Nagumo - Modell (s. Bech5)

$$\epsilon \frac{\partial u}{\partial t} = u - \frac{u^3}{3} - v + D \frac{\partial^2 u}{\partial x^2}$$

$$\frac{\partial v}{\partial t} = u + a$$

Brüsseler-Modell



$\Rightarrow u$: Konzentration von X , v : Konzentration von Y :

$$\frac{\partial u}{\partial t} = A - Bu + u^2v - u + Du \frac{\partial^2 u}{\partial x^2}$$

$$\frac{\partial v}{\partial t} = Bu - u^2v + Dv \frac{\partial^2 v}{\partial x^2}$$

\Rightarrow Turing-Muster

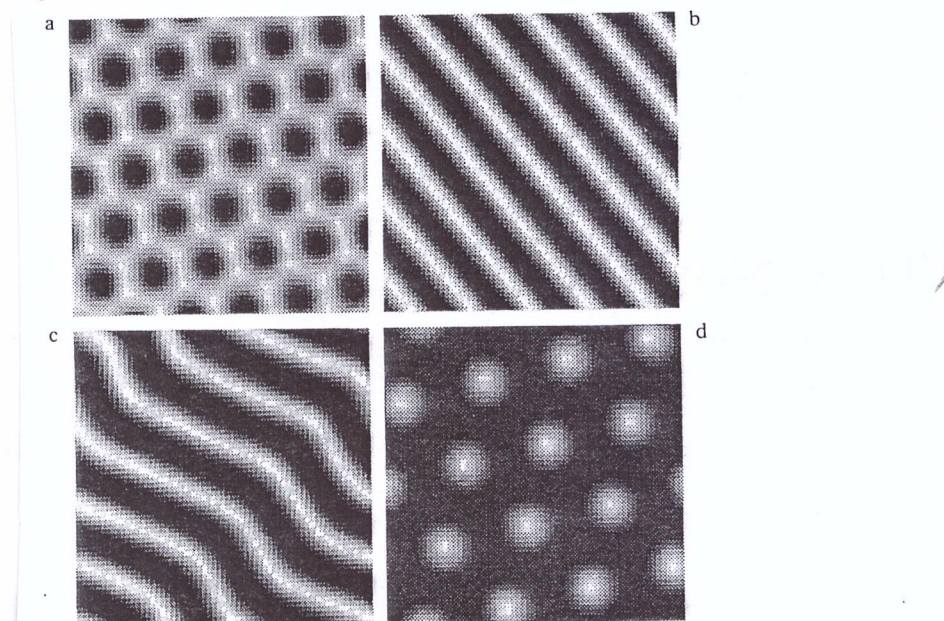


Fig. 5.15a-d. Basic types of two-dimensional Turing-patterns obtained by the numerical simulation of the Brusselator model: (a) a hexagonal lattice of cells, (b) stripes, (c) zig-zag stripes, and (d) a hexagonal lattice of spots. (From [5.32])

Cees P. Bonten, A. DeWitt, J. Physique A 108 A, 171 (1992)

G. Dewel

Competitive vs. recycled Turing structures

Belousov-Zhabotinsky-Reaktion (BZ-Reaktion)

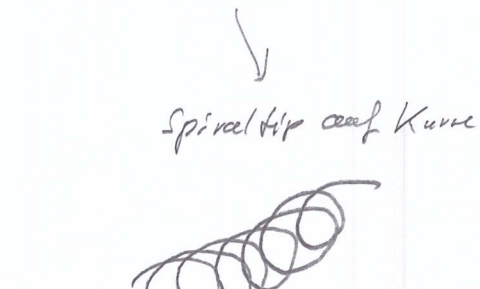
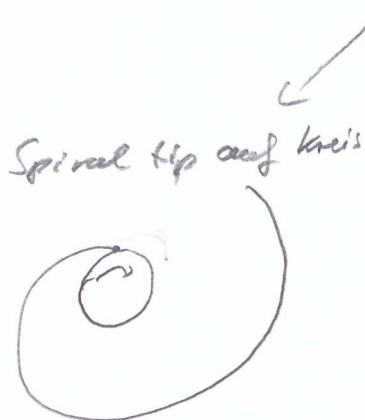
beschreibbar durch 2 effektive Komponenten:

$$\frac{\partial u}{\partial t} = u(1-u) - \frac{v(u-a)}{a+\alpha} + D_u \frac{\partial^2 u}{\partial x^2}, \quad \alpha, b > 0$$

$$\frac{\partial v}{\partial t} = -\frac{1}{\tau} (v-bu) + D_v \frac{\partial^2 v}{\partial x^2} \quad \tau \gg 1$$

(V: langsam)

Spiralzellen möglich: Skriptionen och wandern



oder



Musgrave 3D: *Scroll waves*

56

scroll rings

twisted scrolls

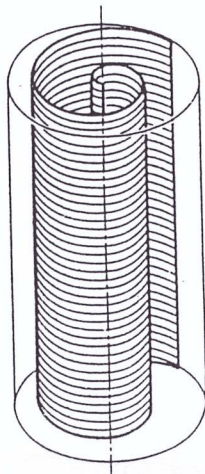


Fig. 3.31. Straight scroll vortex

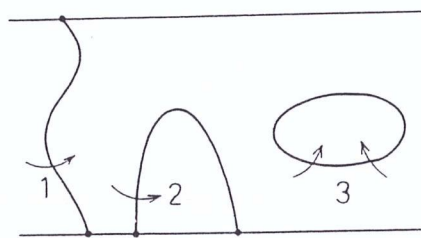


Fig. 3.32. Possible deformations of the vortex filament. Arrows indicate the direction of rotation

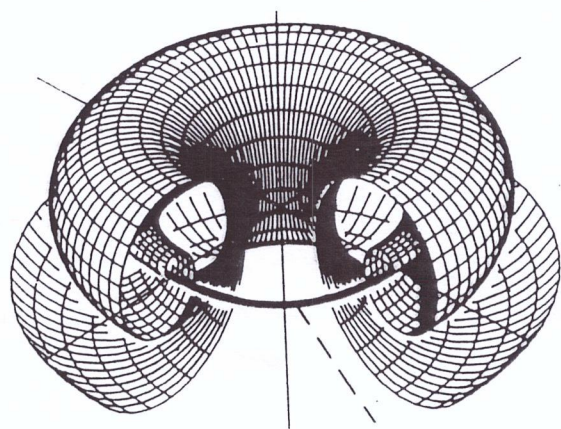


Fig. 3.33. Scroll ring

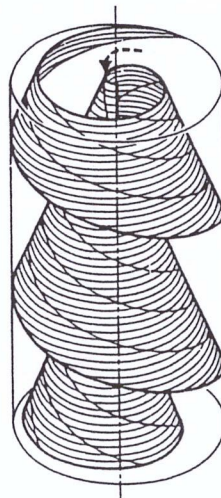


Fig. 3.34. Straight twisted scroll